



## **FILTRAGE NUMERIQUE**

**première partie : analyse des filtres numériques**

**Pierre Le Bars**  
(avec la collaboration de Francis Gary)  
lebars@moniut.univ-bpclermont.fr

# FILTRAGE NUMERIQUE

## première partie : analyse des filtres numériques

### **I/ Organisation générale**

#### **-1- Schéma général**

Voir la figure « Introduction au cours EN22 ». La chaîne de traitement numérique comporte :

- un filtre analogique passe-bas d'antirepliement
- un échantillonneur de période d'horloge  $T_E$
- un CAN fournissant, au rythme de l'horloge, une suite de nombres binaires exprimés sur B bits, représentant la mesure de  $x(n.T_E)$ . On notera  $x(n)$  ou  $x_n$  cette valeur. Ces nombres peuvent être exprimés sous différents codes (binaire naturel, binaire décalé, complément à 2 ...)
- une unité de calcul effectuant un **algorithme** qui, à partir de la suite  $\{x_n\}$ , crée une autre suite  $\{y_n\}$ .

Cet algorithme peut être simple (par exemple :  $y_n = \frac{1}{2} \cdot (x_n + x_{n-1})$ )

ou beaucoup plus sophistiqué : par exemple, à partir de 256 valeurs  $x_n, x_{n-1}, \dots, x_{n-255}$ , on peut calculer la FFT  $X_k$ , supprimer quelques raies indésirables de ce spectre pour obtenir le spectre  $Y_k$  et par FFT inverse obtenir la suite  $\{y_n\}$ .

Cette unité de calcul peut être un ordinateur, un microprocesseur ou un DSP (Digital Signal Processor = processeur spécialisé dans le traitement numérique du signal)

- un CNA traduit sous forme analogique la suite numérique  $\{y_n\}$  de sortie. Ce signal est en général maintenu constant sur une période d'échantillonnage (signal en « marches d'escalier »).
- un filtre (analogique) lisse le signal de sortie du CNA.

Dans la suite nous supposerons que le nombre B de bits est suffisant pour négliger les effets de la quantification, et que les convertisseurs d'entrée et de sortie ont le même quantum de conversion.

#### **-2- Avantages du traitement numérique**

- répétitivité      si on demande à 500 calculateurs d'effectuer l'algorithme  $y_n = \frac{1}{2} \cdot (x_n + x_{n-1})$ , on aura toujours le même résultat. Par contre 500 circuits R-C présenteront une dispersion sur la fréquence de coupure.

- stabilité à long terme : pas de vieillissement des composants.  
On peut réaliser des filtres analogiques d'ordre  $n$  élevé, mais il faut alors des composants très précis et très stables (ne vieillissant pas), donc de coût élevé. A partir d'une certaine valeur ( $n \geq 4$  ou  $6$ ), une réalisation numérique est préférable.
- reprogrammation : avec un même matériel, on passe facilement d'un filtre à un autre, en changeant simplement l'algorithme (logiciel). Avec un DSP, il suffit de changer une EPROM. Un appareil donné peut donc facilement évoluer.
- adaptation : le système peut lui-même adapter ses coefficients en fonction de l'environnement. On peut envisager par exemple un correcteur PID numérique dans une boucle d'asservissement ajustant automatiquement les paramètres  $K$ ,  $T_i$  et  $T_d$  de façon à minimiser le temps de réponse.
- nouveaux filtres : avec les techniques numériques on peut réaliser des filtres n'ayant pas d'équivalent analogique. On peut citer tous les filtres à **phase linéaire**.

### **-3- Inconvénient du traitement numérique**

Les filtres numériques sont limités en fréquence : en effet, pendant une période d'échantillonnage  $T_E$ , il faut avoir le temps de faire :

1. la conversion  $A \rightarrow N$  (temps  $t_{\text{convAN}}$ )
2. le calcul de  $y_n$
3. la réorganisation de la mémoire ( $x_n$  devient  $x_{n-1}$ ,  $x_{n-1}$  devient  $x_{n-2}$ , ... pour la période suivante)
4. la conversion  $N \rightarrow A$  (temps  $t_{\text{convNA}}$ . En général :  $t_{\text{convNA}} \ll t_{\text{convAN}}$ )

Si  $t_{\text{calcul}}$  désigne le temps nécessaire pour effectuer les phases 2 et 3, il faut que :

$$T_E > t_{\text{convAN}} + t_{\text{calcul}} + t_{\text{convNA}} \Rightarrow F_E < F_{\text{MAX}} = \frac{1}{t_{\text{convAN}} + t_{\text{calcul}} + t_{\text{convNA}}}$$

Or, le signal d'entrée  $x(t)$  est échantillonné et doit donc respecter le **théorème de**

**Shannon** :  $F_{\text{Sup}} < \frac{F_E}{2}$  (où  $F_{\text{Sup}}$  désigne la limite supérieure du spectre de  $x(t)$  ).

En hautes fréquences (supérieures à quelques dizaines de mégahertz) on conserve les techniques analogiques.

## **II/ Méthodes générales d'étude des filtres numériques**

**REMARQUE** : On retrouve pour l'étude des filtres numériques le même type d'outils (adaptés) que pour l'étude des filtres analogiques. Nous ferons systématiquement le parallèle (voir annexes 1 et 2).  
Notons tout de même que si les outils sont comparables, les résultats seront nouveaux !

### -1- Définition d'un filtre numérique

Un filtre numérique est un système numérique **linéaire invariant**.



#### Linéarité

Soient :

$y_1(n)$  la réponse à  $x_1(n)$

$y_2(n)$  la réponse à  $x_2(n)$

Si le système est linéaire, alors :

la réponse à  $a \cdot x_1(n)$  est  $a \cdot y_1(n)$ , pour toute valeur de la constante  $a$

la réponse à  $x_1(n) + x_2(n)$  est  $y_1(n) + y_2(n)$

D'une manière générale, si  $a$  et  $b$  sont deux constantes :

**la réponse à  $a \cdot x_1(n) + b \cdot x_2(n)$  est  $a \cdot y_1(n) + b \cdot y_2(n)$**

#### Invariance

Soit  $y(n)$  la réponse à  $x(n)$ .

Si le système est invariant, la réponse à la **suite retardée  $x(n-k)$  est la suite retardée  $y(n-k)$** , pour toute valeur du retard  $k$ .

### -2- Equation de récurrence

Un filtre analogique peut être défini par une équation différentielle. Par exemple, pour un filtre du premier ordre :

$$y(t) + \tau \cdot \frac{dy}{dt} = A \cdot x(t)$$

De même, un filtre numérique est défini par une équation de récurrence (algorithme permettant de calculer  $y(n)$ ) :

$$y(n) = a_0 \cdot x(n) + a_1 \cdot x(n-1) + \dots + a_Q \cdot x(n-Q) - b_1 \cdot y(n-1) - b_2 \cdot y(n-2) - \dots - b_P \cdot y(n-P)$$

ou encore :

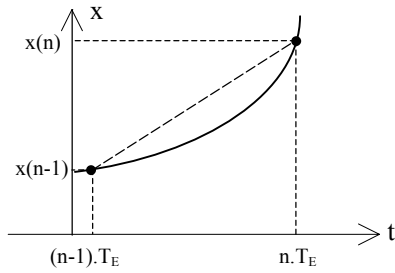
$$y(n) + \sum_{k=1}^P b_k \cdot y(n-k) = \sum_{\ell=0}^Q a_\ell \cdot x(n-\ell)$$

$b_k$  et  $a_\ell$  sont des constantes caractéristiques du filtre

### -3- Exemples

On se propose de réaliser sous forme numérique un filtre ayant des propriétés comparables à celles d'un dérivateur analogique défini par l'équation différentielle

$$y(t) = \tau \cdot \frac{dx}{dt}$$



Si  $T_E$  est suffisamment petit, on peut donner une expression approchée de la dérivée :

$$\frac{dx}{dt} \approx \frac{x(n) - x(n-1)}{T_E}$$

On obtient l'équation de récurrence :

$$(1) \quad \boxed{y(n) = \frac{\tau}{T_E} \cdot [x(n) - x(n-1)]} \quad \left( b_k = 0 \quad \forall k ; a_0 = \frac{\tau}{T_E} \text{ et } a_1 = -\frac{\tau}{T_E} \right)$$

On peut chercher également à réaliser un intégrateur en utilisant la même approximation :

$$\tau \cdot \frac{dy}{dt} = x \Rightarrow \tau \cdot \frac{y(n) - y(n-1)}{T_E} = x(n)$$

soit :

$$(2) \quad \boxed{y(n) - y(n-1) = \frac{T_E}{\tau} \cdot x(n)} \quad \left( b_1 = -1 ; a_0 = \frac{T_E}{\tau} \right)$$

#### **-4- Classification des filtres numériques**

Les exemples ci-dessus montrent qu'il existe deux types de filtres numériques.

##### 4.1. Filtres non récursifs

$y(n)$  est calculé en fonction seulement des entrées présente et passées  $x(n)$ ,  $x(n-1)$  ... (voir le premier exemple).

L'équation de récurrence s'écrit simplement :

$$\underline{\underline{y(n) = \sum_{\ell=0}^Q a_{\ell} \cdot x(n - \ell)}}$$

##### 4.2. Filtres récursifs

C'est le cas du deuxième exemple :  $y(n)$  est calculé en fonction des entrées présente et passées, mais **aussi en fonction des valeurs passées de la sortie  $y(n-1)$ ,...** :

$$\underline{\underline{y(n) = \sum_{\ell=0}^Q a_{\ell} \cdot x(n - \ell) - \sum_{k=1}^P b_k \cdot y(n - k)}}$$

#### **-5- Réponse impulsionnelle**

On sait, en analogique, que la réponse impulsionnelle d'un filtre le définit complètement. Il en est de même pour les filtres numériques.

Notons toutefois une différence importante : l'impulsion analogique  $\delta(t)$  n'est pas réalisable physiquement, alors que la suite numérique impulsionnelle  $\delta(n)$  est facilement réalisable :

$$\begin{cases} \delta(n) = 1 & \text{si } n = 0 \\ \delta(n) = 0 & \text{si } n \neq 0 \end{cases}$$

On désignera par  $h(n)$  la réponse impulsionnelle du filtre.



### 5.1. Filtres non récursifs

Le filtre est défini par le récurrence :

$$y(n) = a_0 \cdot x(n) + a_1 \cdot x(n-1) + a_2 \cdot x(n-2) + \dots + a_Q \cdot x(n-Q)$$

On a donc :

$$h(0) = a_0 \cdot \frac{\delta(0)}{=1} + a_1 \cdot \frac{\delta(-1)}{=0} + a_2 \cdot \frac{\delta(-2)}{=0} + \dots + a_Q \cdot \frac{\delta(-Q)}{=0} = a_0$$

$$h(1) = a_0 \cdot \frac{\delta(1)}{=0} + a_1 \cdot \frac{\delta(0)}{=1} + a_2 \cdot \frac{\delta(-1)}{=0} + \dots + a_Q \cdot \frac{\delta(1-Q)}{=0} = a_1$$

etc ...

Soit finalement :

$$h(0) = a_0 ; h(1) = a_1 ; \dots ; h(Q) = a_Q \text{ et } h(n) = 0 \text{ pour } n > Q$$

Il y a un nombre fini d'échantillons de la réponse impulsionnelle non nuls (de 0 à Q, soit Q+1 échantillons non nuls). Ces filtre sont appelés **Filtres à Réponse Impulsionnelle Finie<sup>1</sup> (R.I.F.)** (ou FIR = Finite Impulse Response en anglais).

En résumé :

**Filtre non récursif = Filtre R.I.F.**  $\Leftrightarrow y(n) = \sum_{\ell=0}^Q a_{\ell} \cdot x(n - \ell)$

$\Leftrightarrow y(n) = \sum_{\ell=0}^Q h(\ell) \cdot x(n - \ell)$

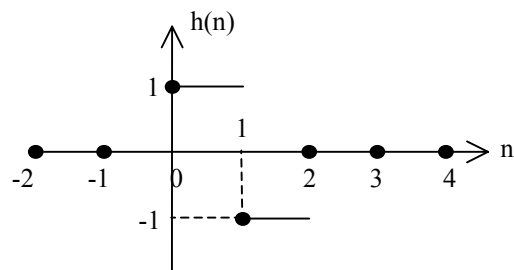
$\Leftrightarrow h(\ell) = a_{\ell}$

Exemple :

« dérivateur » avec  $\tau = T_E$  :

$$y(n) = x(n) - x(n-1]$$

$$h(0) = 1 ; h(1) = -1$$

$$h(n) = 0 \quad \forall n \notin \{0,1\}$$


<sup>1</sup> On devrait dire en toute rigueur : **Filtre à Réponse Impulsionnelle de Durée Finie**

## 5.2. Filtres récursifs

Le filtre est défini par la récurrence :

$$y(n) = a_0 \cdot x(n) + a_1 \cdot x(n-1) + \dots + a_Q \cdot x(n-Q) - b_1 \cdot y(n-1) - b_2 \cdot y(n-2) - \dots - b_P \cdot y(n-P)$$

D'où :

$$h(n) = a_0 \cdot \delta(n) + a_1 \cdot \delta(n-1) + \dots + a_Q \cdot \delta(n-Q) - b_1 \cdot h(n-1) - b_2 \cdot h(n-2) - \dots - b_P \cdot h(n-P)$$

Pour  $n > Q$  :

$$h(n) = -b_1 \cdot h(n-1) - b_2 \cdot h(n-2) - \dots - b_P \cdot h(n-P) \neq 0$$

Il y a une infinité de valeurs non nulles de la réponse impulsionnelle. Ces filtres sont appelés **Filtres à Réponse Impulsionnelle Infinie<sup>2</sup> (R.I.I.)** (IIR = Infinite Impulse Response en anglais).

En résumé :

$$\text{Filtre récursif} = \text{Filtre R.I.I.} \Leftrightarrow y(n) + \sum_{k=1}^P b_k \cdot y(n-k) = \sum_{\ell=0}^Q a_\ell \cdot x(n-\ell)$$

(il existe au moins un coefficient  $b_k \neq 0$ )

Exemple :

« intégrateur » avec  $\tau = T_E$

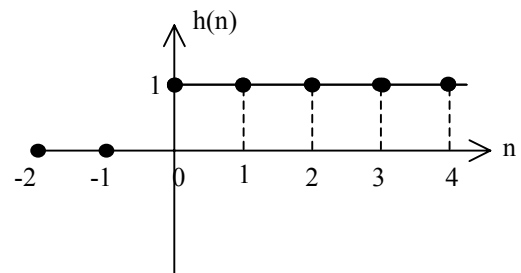
$$y(n] - y(n-1]) = x(n]$$

$$h(0) = \delta(0) + h(-1) = 1 \text{ si } h(-1) = 0$$

$$h(1) = \delta(1) + h(1) = 0 + 1 = 1$$

etc...

$$h(n) = 1 \quad \forall n \geq 0$$



### **-6- Convolution numérique**

Le problème est le suivant : comme pour les filtres analogiques, la réponse impulsionnelle d'un filtre numérique permet-elle de déterminer la réponse à n'importe quelle excitation  $x(n)$  ?

La réponse est évidemment OUI pour un filtre RIF : connaissant  $h(0), h(1) \dots h(Q)$  on en déduit la récurrence, qui permettra de déterminer  $y(n)$  pour une excitation  $x(n)$  donnée.

Le problème se pose pour les filtres RII.

On peut écrire :

$$x(n) = \sum_{k=-\infty}^{+\infty} x(k) \cdot \delta(n-k) = \sum_{j=-\infty}^{+\infty} x(n-j) \cdot \delta(j)$$

En effet :  $\delta(n-k) = 1$  si  $n = k$  et  $0$  si  $n \neq k$

( cette expression est à comparer à :  $x(t) = \int_{-\infty}^{+\infty} x(\theta) \cdot \delta(t-\theta) \cdot d\theta$  )

On suppose connue la réponse impulsionnelle  $h(n)$ .

<sup>2</sup> Comme pour les filtres RIF, on devrait dire en toute rigueur **Filtres à Réponse Impulsionnelle de Durée Infinie**

Excitation	Sortie	Propriété utilisée
$\delta(n)$	$h(n)$	
$\delta(n-k)$	$h(n-k)$	Invariance du filtre
$x(k) \cdot \delta(n-k)$	$x(k) \cdot h(n-k)$	Linéarité du filtre. k étant donné, x(k) est une constante
$\sum_{k=-\infty}^{+\infty} x(k) \cdot \delta(n-k)$	$\sum_{k=-\infty}^{+\infty} x(k) \cdot h(n-k)$	linéarité
$= x(n)$	$= y(n)$	

On obtient le **produit de convolution numérique** :

$$y(n) = \sum_{k=-\infty}^{+\infty} x(k) \cdot h(n-k) = \sum_{\ell=-\infty}^{+\infty} x(n-\ell) \cdot h(\ell)$$

changement d'indice :  $\ell = n - k$

Remarque : pour un filtre RIF, on retrouve la récurrence car  $h(\ell) = a_\ell$ .

Exemple : cherchons la réponse indicielle de l'« intégrateur » (avec  $\tau = T_E$ ) :

$x(n] = u(n) = 1$  si  $n \geq 0$  et  $x(n) = u(n) = 0$  si  $n < 0$

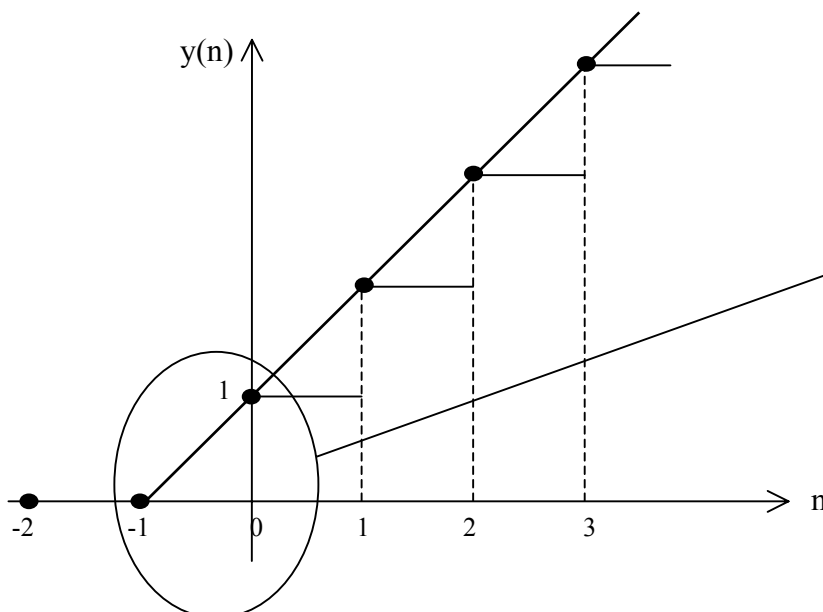
On a vu que la réponse impulsionnelle du filtre est :  $\begin{cases} h(n) = 1 \text{ pour } n \geq 0 \\ h(n) = 0 \text{ pour } n < 0 \end{cases}$

$$y(n) = \sum_{\ell=-\infty}^{+\infty} x(n-\ell) \cdot h(\ell) = \sum_{\ell=0}^n x(n-\ell) \cdot h(\ell)$$

Justification des limites :  $h(\ell) = 0$  pour  $\ell < 0$   
 $x(n-\ell) = 0$  pour  $n-\ell < 0$  soit  $\ell > n$

D'où :

$$y(n) = \sum_{\ell=0}^n x(n-\ell) \cdot h(\ell) = \sum_{\ell=0}^n 1 = n + 1$$



Différence par rapport à un intégrateur analogique :  $y(0) \neq 0$

## -7- Réponse harmonique

Une suite numérique sinusoïdale peut être obtenue en échantillonnant un signal sinusoïdal :  $x(t) = X \cdot \cos(\omega t) \Rightarrow x(n) = X \cdot \cos(\omega n T_E)$

ou encore, en travaillant avec les exponentielles complexes :  $x(n) = X \cdot e^{j \cdot n \cdot \omega T_E}$ .  
(ne pas oublier que physiquement, seule la partie réelle de ce signal a un sens).

On suppose a priori le théorème de Shannon respecté, c'est à dire que :

$$f < \frac{f_E}{2} \Leftrightarrow \omega T_E < \pi$$

### 7.1. Etude à partir de la réponse impulsionnelle

On suppose que  $h(n) = 0$  pour  $n < 0$  (ce qui est en général le cas)

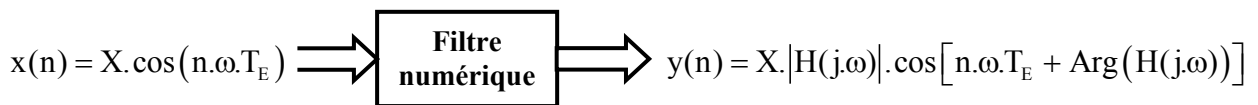
$$\begin{aligned} y(n) &= \sum_{k=0}^{+\infty} h(k) \cdot x(n-k) \\ &= \sum_{k=0}^{+\infty} h(k) \cdot X \cdot e^{j(n-k)\omega T_E} \\ &= X \cdot e^{j \cdot n \cdot \omega T_E} \cdot \left( \sum_{k=0}^{+\infty} h(k) \cdot e^{-j \cdot k \cdot \omega T_E} \right) \longleftarrow H(j\omega) \end{aligned}$$

$y(n)$  est également une suite numérique sinusoïdale de même pulsation  $\omega$ . On peut définir la fonction de transfert en régime harmonique du filtre par :

$$H(j\omega) = \sum_{k=0}^{+\infty} h(k) \cdot e^{-j \cdot k \cdot \omega T_E} = \sum_{k=0}^{+\infty} h(k) \cdot e^{-j \cdot k \cdot \Omega}$$

en introduisant la pulsation réduite  $\Omega = \omega T_E$

La figure ci-dessous donne la signification physique de cette fonction de transfert.



### 7.2. Etude à partir de la récurrence

Soit  $x(n) = X \cdot e^{j \cdot n \cdot \omega T_E}$  le signal d'entrée du filtre. En régime permanent, la sortie est également sinusoïdale :  $y(n) = Y_M \cdot e^{j \cdot \varphi} \cdot e^{j \cdot n \cdot \omega T_E} = Y \cdot e^{j \cdot n \cdot \omega T_E}$  avec  $Y = Y_M \cdot e^{j \cdot \varphi} \in \mathbb{C}$ , en introduisant l'amplitude complexe  $Y$ .

$$\begin{aligned}
y(n) &= \sum_{\ell=0}^Q a_{\ell} \cdot x(n-\ell) - \sum_{k=1}^P b_k \cdot y(n-k) \\
\Rightarrow Y \cdot \cancel{e^{j.n.\omega.T_E}} &= \sum_{\ell=0}^Q a_{\ell} \cdot X \cdot e^{j(n-\ell).\omega.T_E} - \sum_{k=1}^P b_k \cdot Y \cdot e^{j(n-k).\omega.T_E} \\
&= \cancel{e^{j.n.\omega.T_E}} \cdot \left[ \sum_{\ell=0}^Q a_{\ell} \cdot X \cdot e^{-j.\ell.\omega.T_E} - \sum_{k=1}^P b_k \cdot Y \cdot e^{-j.k.\omega.T_E} \right] \\
\Rightarrow Y \cdot \left[ 1 + \sum_{k=1}^P b_k \cdot e^{-j.k.\omega.T_E} \right] &= X \cdot \sum_{\ell=0}^Q a_{\ell} \cdot e^{-j.\ell.\omega.T_E} \\
\Rightarrow \frac{Y}{X} = H(j.\omega) &= \frac{\sum_{\ell=0}^Q a_{\ell} \cdot e^{-j.\ell.\omega.T_E}}{1 + \sum_{k=1}^P b_k \cdot e^{-j.k.\omega.T_E}}
\end{aligned}$$

Remarque :  $y(n-k)$  correspond à l'échantillonnage de  $y(t-k.T_E)$ , c'est à dire  $y(t)$  retardé de  $k.T_E$ . Or la fonction de transfert d'un retard est  $e^{-j.k.T_E.\omega}$ .

En résumé :

$$H(j.\omega) = \sum_{k=0}^{+\infty} h(k) \cdot e^{-j.k.\Omega} = \frac{\sum_{\ell=0}^Q a_{\ell} \cdot e^{-j.\ell.\Omega}}{1 + \sum_{k=1}^P b_k \cdot e^{-j.k.\Omega}} \quad \text{en posant } \Omega = \omega.T_E$$

$h(k)$ ,  $a_{\ell}$  et  $b_k$  sont réels.

### -8- Exemple

On désire réaliser un filtre numérique qui se comporterait comme un système analogique du premier ordre défini par l'équation différentielle :  $y + \tau \cdot \frac{dy}{dt} = x$ , avec  $\tau = T_E$ .

En utilisant l'approximation de la dérivée :  $\frac{dy}{dt} \approx \frac{y(n) - y(n-1)}{T_E}$ , il vient :

$$y(n) + \frac{\tau}{T_E} \cdot [y(n) - y(n-1)] = x(n) \Rightarrow \boxed{y(n) - \frac{1}{2} \cdot y(n-1) = \frac{1}{2} \cdot x(n)}$$

Il s'agit d'un filtre récursif ou filtre RII (à réponse impulsionnelle de durée infinie).

#### 8.1. Réponse impulsionnelle

$$h(n) - \frac{1}{2} \cdot h(n-1) = \frac{1}{2} \cdot \delta(n) \Rightarrow \begin{cases} h(0) = \frac{1}{2} & (\text{si } h(-1) = 0) \\ h(n) = \frac{1}{2} \cdot h(n-1) \end{cases}$$

On retrouve la définition d'une progression géométrique :

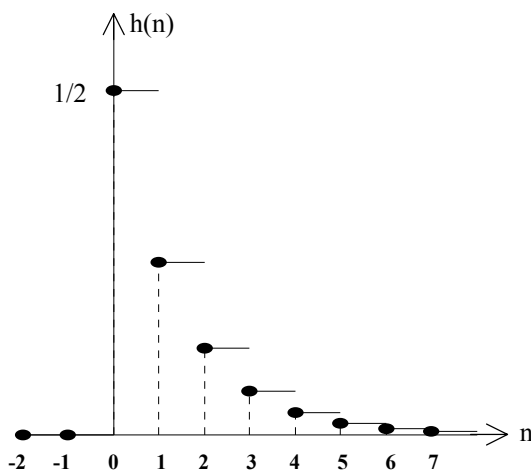
$$h(n) = \left(\frac{1}{2}\right)^{n+1} \quad \text{pour } n \geq 0$$

### 8.2. Réponse indicielle

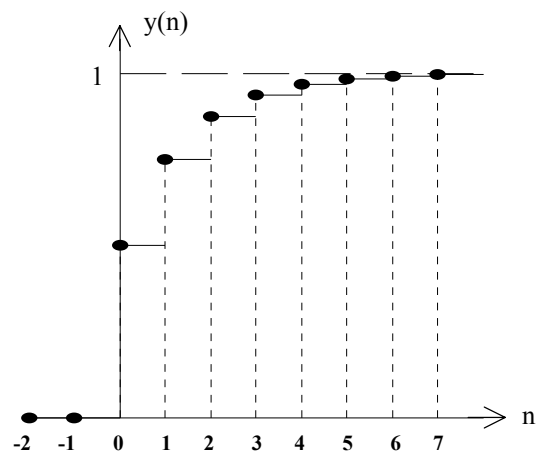
L'entrée est une suite échelon unité  $u(n)$  :  $u(n) = 1$  pour  $n \geq 0$  et  $u(n) = 0$  pour  $n < 0$ .

$$\begin{aligned}
 y(n) &= \sum_{k=-\infty}^{+\infty} x(k) \cdot h(n-k) \\
 &= \sum_{k=0}^n 1 \cdot \left(\frac{1}{2}\right)^{n+1-k} \quad \begin{array}{l} \text{car } h(n-k) = 0 \text{ pour } k > n \\ \text{car } x(k) = 0 \text{ pour } k < 0 \end{array} \\
 &= \left(\frac{1}{2}\right)^{n+1} \cdot \sum_{k=0}^n 1 \cdot \left(\frac{1}{2}\right)^{-k} \\
 &= \left(\frac{1}{2}\right)^{n+1} \cdot \frac{1 - \left(\frac{1}{2}\right)^{-(n+1)}}{1 - \left(\frac{1}{2}\right)^{-1}} \quad \Rightarrow \quad \boxed{y(n) = 1 - \left(\frac{1}{2}\right)^{n+1}} \quad \text{pour } n \geq 0
 \end{aligned}$$

#### Réponse impulsionnelle



#### Réponse indicielle



### 8.3. Réponse harmonique

A partir de la récurrence, on obtient directement :

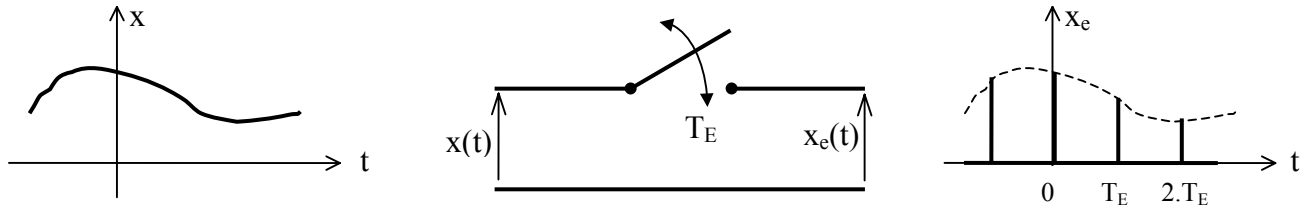
$$H(j\omega) = \frac{\frac{1}{2}}{1 - \frac{1}{2}e^{-j\omega}} = \frac{1}{2 - e^{-j\omega}}$$

où :  $\Omega = \omega \cdot T_E$  ( $0 \leq \Omega \leq \pi$  : théorème de Shannon)

### III/ Transformée en Z

On a cherché pour les filtres numériques un outil comparable à la transformée de Laplace pour les filtres analogiques. Cet outil est la transformée en Z.

#### -1- Transformée de Laplace d'un signal échantillonné



Voir le chapitre sur l'échantillonnage :

$$x_e(t) = T_E \cdot \sum_{n=-\infty}^{+\infty} x(n.T_E) \cdot \delta(t - n.T_E)$$

et

$$\lim_{T_E \rightarrow 0} x_e(t) = x(t)$$

Supposons que  $x(t) = 0$  pour  $t < 0$ . On a donc :  $x(n.T_E) = 0$  pour  $n < 0$ .

Soit  $X(p)$  la transformée de Laplace de  $x(t)$ .

$$X_e(p) = \mathcal{L}[x_e(t)]$$

$$= \mathcal{L}\left[ T_E \cdot \sum_{n=0}^{+\infty} x(n.T_E) \cdot \delta(t - n.T_E) \right] \quad (\text{car } x(n.T_E) = 0 \text{ pour } n < 0)$$

$$= T_E \cdot \sum_{n=0}^{\infty} x(n.T_E) \cdot \mathcal{L}[\delta(t - n.T_E)] \quad (\text{linéarité de la transformée de Laplace})$$

$$= T_E \cdot \sum_{n=0}^{\infty} x(n.T_E) \cdot e^{-n.T_E \cdot p} \quad (\mathcal{L}[\delta(t)] = 1 \text{ et retard})$$

$$= T_E \cdot \sum_{n=0}^{\infty} x(n.T_E) \cdot (e^{T_E \cdot p})^{-n}$$

$$\Rightarrow X_e(p) = T_E \cdot \sum_{n=0}^{\infty} x(n.T_E) \cdot z^{-n} \quad (\text{en posant : } z = e^{T_E \cdot p})$$

#### -2- Transformée en Z : définition

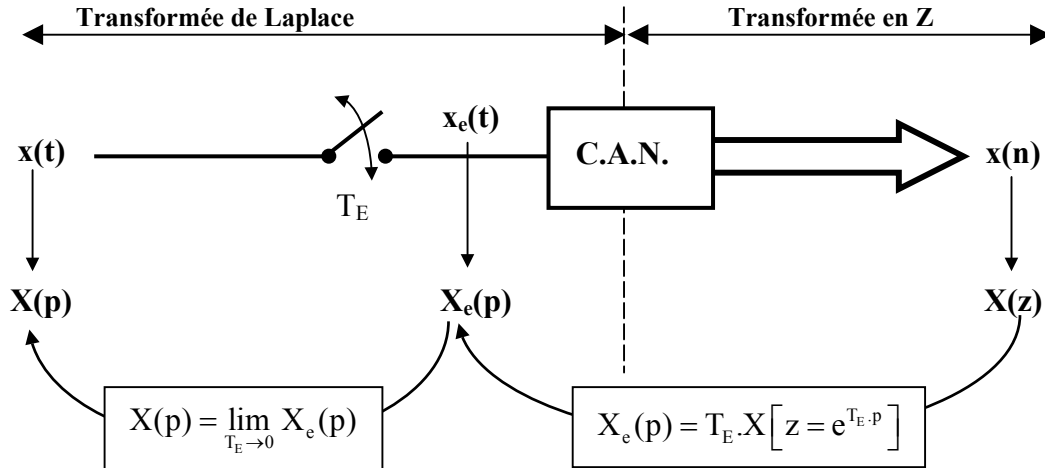
Dans le cas d'une chaîne de traitement numérique :  $x(n) = x(n.T_E)$ . On généralise l'expression obtenue ci-dessus à tout signal numérique, même non issu d'un signal analogique échantillonné (par exemple la sortie d'un filtre numérique).

Par définition, la transformée en Z  $X(z)$  d'un signal numérique  $x(n)$  est :

$$X(z) = \mathcal{Z}[x(n)] = \sum_{n=0}^{\infty} x(n) \cdot z^{-n} \quad (z \in \mathbb{C})$$

### -3- Transformée de Laplace et transformée en Z

Soit  $x(t)$  un signal analogique de transformée de Laplace  $X(p)$ . Ce signal est échantillonné, puis, à l'aide d'un convertisseur analogique-numérique, on obtient la suite numérique  $x(n)$ . La figure ci-dessous indique les liens entre les transformées de Laplace  $X(p)$  et  $X_e(p)$  et la transformée en Z,  $X(z)$ .



### -4- Exemples

#### 4.1. Impulsion

$$\delta(n) = \begin{cases} 1 & \text{si } n = 0 \\ 0 & \text{si } n \neq 0 \end{cases} \Rightarrow \underline{\Delta(z)} = \mathcal{Z}[\delta(n)] = \sum_{n=0}^{\infty} \delta(n) \cdot z^{-n} = z^{-0} = \underline{1}$$

Ce résultat est évidemment à comparer à la transformée de Laplace :  $\mathcal{L}[\delta(t)] = 1$

#### 4.2. Echelon unité

$$u(n) = \begin{cases} 1 & \text{si } n \geq 0 \\ 0 & \text{si } n < 0 \end{cases}$$

D'où

$$U(z) = \sum_{n=0}^{\infty} z^{-n} = \lim_{N \rightarrow \infty} \frac{1 - z^{-(N+1)}}{1 - z^{-1}} = \frac{1}{1 - z^{-1}} \quad (\text{si } |z^{-1}| < 1)$$

Soit :

$$\underline{U(z) = \frac{1}{1 - z^{-1}} = \frac{z}{z - 1}}$$

Remarque : cette suite peut être obtenue en échantillonnant un échelon unité analogique  $\gamma(t)$  :

$$U(z) = \frac{1}{1 - z^{-1}} \Rightarrow \Gamma_e(p) = T_E \cdot \frac{1}{1 - e^{-T_E \cdot p}}$$

$$\Rightarrow \underline{\Gamma(p)} = \lim_{T_E \rightarrow 0} T_E \cdot \frac{1}{1 - e^{-T_E \cdot p}} = \lim_{T_E \rightarrow 0} T_E \cdot \frac{1}{1 - (1 - T_E \cdot p)} = \underline{\frac{1}{p}}$$

transformée de Laplace bien connue.

### 4.3. « Exponentielle »

Soit la suite numérique :  $x(n) = a^n \cdot u(n)$  : ( $x(n) = a^n$  pour  $n \geq 0$  et  $x(n) = 0$  pour  $n < 0$ ).

$$X(z) = \sum_{n=0}^{\infty} a^n \cdot z^{-n} = \sum_{n=0}^{\infty} (a \cdot z^{-1})^n = \lim_{N \rightarrow \infty} \frac{1 - (a \cdot z^{-1})^{N+1}}{1 - a \cdot z^{-1}} = \frac{1}{1 - a \cdot z^{-1}} \quad (\text{si } |a \cdot z^{-1}| < 1)$$

Soit :

$$\underline{X(z) = \frac{1}{1 - a \cdot z^{-1}} = \frac{z}{z - a}}$$

Pour faire le parallèle avec la transformée de Laplace, quel est le signal  $x(t)$  qui après échantillonnage donne  $x(n \cdot T_E) = a^n$  ?

Posons :  $x(t) = e^{\alpha \cdot t}$

$$\text{On a : } x(n \cdot T_E) = e^{\alpha \cdot n \cdot T_E} = (e^{\alpha \cdot T_E})^n = a^n \Rightarrow a = e^{\alpha \cdot T_E} \text{ soit } \alpha = \frac{1}{T_E} \cdot \text{Ln}(a)$$

D'où :

$$X_e(p) = T_E \cdot X(z = e^{T_E \cdot p}) = T_E \cdot \frac{1}{1 - a \cdot e^{-T_E \cdot p}} = T_E \cdot \frac{1}{1 - e^{\alpha \cdot T_E} \cdot e^{-T_E \cdot p}} = T_E \cdot \frac{1}{1 - e^{(\alpha - p) \cdot T_E}}$$

$$\Rightarrow X(p) = \lim_{T_E \rightarrow 0} X_e(p) = \lim_{T_E \rightarrow 0} T_E \cdot \frac{1}{1 - e^{(\alpha - p) \cdot T_E}} = \lim_{T_E \rightarrow 0} T_E \cdot \frac{1}{1 - [1 + (\alpha - p) \cdot T_E]} = \frac{1}{p - \alpha} = \mathcal{L}[e^{\alpha \cdot t}]$$

## IV/ Propriétés de la transformée en Z

### -1- Linéarité

$$\left. \begin{array}{l} x_1(n) \xleftrightarrow{T.Z.} X_1(z) \\ x_2(n) \xleftrightarrow{T.Z.} X_2(z) \end{array} \right\} \Rightarrow a \cdot x_1(n) + b \cdot x_2(n) \xleftrightarrow{T.Z.} a \cdot X_1(z) + b \cdot X_2(z) \quad (a \text{ et } b = \text{constantes})$$

Exemple d'application :

$$x(n) = \cos(n \cdot \omega \cdot T_E) \cdot u(n) = \frac{1}{2} \cdot [e^{j \cdot n \cdot \omega \cdot T_E} + e^{-j \cdot n \cdot \omega \cdot T_E}] \cdot u(n) = \frac{1}{2} \cdot [(e^{j \cdot \omega \cdot T_E})^n \cdot u(n) + (e^{-j \cdot \omega \cdot T_E})^n \cdot u(n)]$$

$$\begin{aligned} \Rightarrow X(z) &= \frac{1}{2} \cdot \frac{1}{1 - e^{j \cdot \omega \cdot T_E} \cdot z^{-1}} + \frac{1}{2} \cdot \frac{1}{1 - e^{-j \cdot \omega \cdot T_E} \cdot z^{-1}} \\ &= \frac{1}{2} \cdot \frac{1 - e^{j \cdot \omega \cdot T_E} \cdot z^{-1} + 1 - e^{-j \cdot \omega \cdot T_E} \cdot z^{-1}}{(1 - e^{j \cdot \omega \cdot T_E} \cdot z^{-1}) \cdot (1 - e^{-j \cdot \omega \cdot T_E} \cdot z^{-1})} \\ &= \frac{1 - \cos(\omega \cdot T_E) \cdot z^{-1}}{1 - 2 \cdot \cos(\omega \cdot T_E) \cdot z^{-1} + z^{-2}} \end{aligned}$$

### -2- Retard

Soient  $x(n)$  une suite « causale » ( $x(n) = 0$  pour  $n < 0$ ) et  $X(z)$  sa transformée en Z. On considère la suite  $y(n) = x(n - k)$ , c'est à dire la suite  $x(n)$  retardée de  $k$  échantillons.

Problème : quelle est sa transformée en Z,  $Y(z)$  ?

En utilisant le parallèle avec la transformée de Laplace<sup>3</sup> :

$$x_e(t) \text{ donne } x(n) \text{ avec } X_e(p) = T_E \cdot X(z = e^{T_E \cdot p})$$

$$y_e(t) = x_e(t - k \cdot T_E) \text{ donne } y(n) \text{ avec } Y_e(p) = T_E \cdot Y(z = e^{T_E \cdot p})$$

Or :

$$\begin{aligned} Y_e(p) &= e^{-k \cdot T_E \cdot p} \cdot X_e(p) \\ &= (e^{T_E \cdot p})^{-k} \cdot T_E \cdot X(z = e^{T_E \cdot p}) \\ &= T_E \cdot [z^{-k} \cdot X(z)]_{z=e^{T_E \cdot p}} \\ &= T_E \cdot Y(z = e^{T_E \cdot p}) \end{aligned} \quad \Rightarrow \quad Y(z) = z^{-k} \cdot X(z)$$

En résumé :

$$\boxed{\mathcal{Z}[x(n - k)] = z^{-k} \cdot \mathcal{Z}[x(n)]}$$

### -3- Changement d'échelle

En utilisant toujours le parallèle :

$$x(t) \xrightarrow{\text{Laplace}} X(p)$$

$$x(t) \cdot e^{p_0 \cdot t} \xrightarrow{\text{Laplace}} X(p - p_0)$$

Si on pose  $z = e^{T_E \cdot p}$ , la transformation  $p \rightarrow p - p_0$ , revient à remplacer  $z$  par

$$e^{(p - p_0) \cdot T_E} = \frac{e^{p \cdot T_E}}{e^{p_0 \cdot T_E}} = \frac{z}{z_0} \text{ en posant } z_0 = e^{p_0 \cdot T_E}. \text{ De plus le signal } x(t) \cdot e^{p_0 \cdot t} \text{ donne par}$$

échantillonnage la suite numérique  $x(n) \cdot e^{p_0 \cdot n \cdot T_E} = x(n) \cdot (e^{p_0 \cdot T_E})^n = z_0^n \cdot x(n)$ .

On a donc la propriété suivante :

$$\boxed{x(n) \xleftrightarrow{\text{T.Z.}} X(z) \quad \Rightarrow \quad z_0^n \cdot x(n) \xleftrightarrow{\text{T.Z.}} X\left(\frac{z}{z_0}\right)}$$

Vérification :

$$X\left(\frac{z}{z_0}\right) = \sum_{n=0}^{\infty} x(n) \cdot \left(\frac{z}{z_0}\right)^{-n} = \sum_{n=0}^{\infty} x(n) \cdot z_0^n \cdot z^{-n} = \sum_{n=0}^{\infty} y(n) \cdot z^{-n} = Y(z) \text{ en posant } y(n) = x(n) \cdot z_0^n$$

Exemple d'application :

$$1) u(n) \xleftrightarrow{\text{T.Z.}} U(z) = \frac{1}{1 - z^{-1}} \quad \Rightarrow \quad a^n \cdot u(n) \xleftrightarrow{\text{T.Z.}} \frac{1}{1 - \left(\frac{z}{a}\right)^{-1}} = \frac{1}{1 - a \cdot z^{-1}}$$

résultat que nous avons obtenu directement à partir de la définition de la transformée en  $Z$ .

<sup>3</sup> Le parallèle avec la transformée de Laplace n'est pas une démonstration, mais permet de comprendre (ou de retrouver rapidement) certaines propriétés de la transformée en  $Z$ . Pour une démonstration rigoureuse, voir le cours de math.

## 2) Sinusoïde amortie

$$\cos(n.\omega.T_E) \stackrel{T.Z.}{\leftrightarrow} \frac{1 - \cos(\omega.T_E).z^{-1}}{1 - 2.\cos(\omega.T_E).z^{-1} + z^{-2}}$$

$\Rightarrow$

$$a^n.\cos(n.\omega.T_E) \stackrel{T.Z.}{\leftrightarrow} \frac{1 - \cos(\omega.T_E).\left(\frac{z}{a}\right)^{-1}}{1 - 2.\cos(\omega.T_E).\left(\frac{z}{a}\right)^{-1} + \left(\frac{z}{a}\right)^{-2}} = \frac{1 - a.\cos(\omega.T_E).z^{-1}}{1 - 2.a.\cos(\omega.T_E).z^{-1} + a^2.z^{-2}}$$

## **-4- Transformée en Z de la suite n.x(n)**

Soit  $x(t)$  un signal, de transformée de Laplace  $X(p)$ , donnant après échantillonnage la suite  $x(n)$  de transformée en Z,  $X(z)$  :  $X(p) = T_E.X(z = e^{T_E.p})$  <sup>4</sup>

La transformée de Laplace de  $t.x(t)$  est :

$$\mathcal{L}[t.x(t)] = -\frac{dX}{dp} = -T_E.\frac{dX}{dz}.\frac{dz}{dp} = -T_E^2.z.\frac{dX}{dz}$$

car :  $z = e^{T_E.p} \Rightarrow \frac{dz}{dp} = T_E.e^{T_E.p} = T_E.z$

En échantillonnant le signal  $t.x(t)$ , on obtient la suite  $T_E.n.x(n) = T_E.y(n)$ , en posant  $y(n) = n.x(n)$ , dont la transformée en Z est  $T_E.Y(z)$ . La transformée de Laplace de  $t.x(t)$  est donc :

$$T_E.[T_E.Y(z)]_{z=e^{T_E.p}} = T_E^2.Y(z = e^{T_E.p}).$$

En égalant les deux expressions de la transformée de Laplace de  $t.x(t)$ , on obtient :

$$-T_E^2.z.\frac{dX}{dz} = T_E^2.Y(z)$$

D'où :

$$Y(z) = \mathcal{Z}[n.x(n)] = -z.\frac{dX}{dz} = z^{-1}.\frac{dX}{d(z^{-1})}$$

Application : transformée en Z d'une rampe numérique  $n.u(n) = y(n)$

$$\underline{Y(z)} = z^{-1}.\frac{d}{d(z^{-1})}\left[\frac{1}{1-z^{-1}}\right] = \underline{\frac{z^{-1}}{(1-z^{-1})^2}}$$

## **-5- Théorèmes des valeurs initiale et finale**

Avec la transformée de Laplace on sait que :

$$\begin{cases} x(0^+) = \lim_{p \rightarrow \infty} p.X(p) \\ \lim_{t \rightarrow \infty} x(t) = \lim_{p \rightarrow 0} p.X(p) \end{cases}$$

En posant  $z = e^{T_E.p}$  on a :  $p \rightarrow \infty \Rightarrow z \rightarrow \infty$  et  $p \rightarrow 0 \Rightarrow z \rightarrow 1$

<sup>4</sup> pour alléger l'écriture, nous omettons volontairement dans ce paragraphe  $\lim_{T_E \rightarrow 0}$

### 5.1. Valeur initiale ( $z \rightarrow \infty$ )

Si  $z \rightarrow \infty$ , alors  $z^{-1} \rightarrow 0$  et :

$$X(z) = \sum_{n=0}^{\infty} x(n).z^{-n} = x(0) + \underbrace{x(1).z^{-1} + x(2).z^{-2} + \dots}_{0 \text{ quand } z \rightarrow \infty} = x(0)$$

D'où :

$$x(0) = \lim_{z \rightarrow \infty} X(z) = \lim_{z^{-1} \rightarrow 0} X(z)$$

### 5.2. Valeur finale ( $z \rightarrow 1$ )

Lorsque  $p \rightarrow 0$ ,  $z = e^{T_E \cdot p} \approx 1 + T_E \cdot p$ , ou encore :  $p \approx \frac{1}{T_E} \cdot (z - 1)$  quand  $z \rightarrow 1$ .

On peut donc écrire, lorsque  $p \rightarrow 0$  (ou  $z \rightarrow 1$ ) :

$$X(p) = \lim_{T_E \rightarrow 0} T_E \cdot X(z = e^{T_E \cdot p}) \Rightarrow p \cdot X(p) = \lim_{T_E \rightarrow 0} \frac{1}{T_E} \cdot (z - 1) \cdot T_E \cdot X(z = e^{T_E \cdot p}) \quad \text{quand } z \rightarrow 1$$

D'où :

$$\lim_{p \rightarrow 0} p \cdot X(p) = \lim_{t \rightarrow \infty} x(t) = \lim_{n \rightarrow \infty} x(n) = \lim_{z \rightarrow 1} (z - 1) \cdot X(z) = \lim_{z^{-1} \rightarrow 1} (1 - z^{-1}) \cdot X(z)$$

Exemple :

$$X(z) = \frac{1 + z^{-1}}{2 \cdot (1 - z^{-1}) \cdot (1 - 0,5 \cdot z^{-1})} \Rightarrow \begin{cases} x(0) = \lim_{z^{-1} \rightarrow 0} X(z) = \frac{1}{2} \\ \lim_{n \rightarrow \infty} x(n) = \lim_{z^{-1} \rightarrow 1} (1 - z^{-1}) \cdot X(z) = \lim_{z^{-1} \rightarrow 1} \frac{1 + z^{-1}}{2 \cdot (1 - 0,5 \cdot z^{-1})} = 2 \end{cases}$$

## **-6- Transformée en Z d'un produit de convolution numérique**

Comme pour la transformée de Laplace :

**la transformée en Z d'un produit de convolution numérique est le produit des transformées en Z**

$$y(n) = \sum_{k=0}^n x(k).h(n-k) \Leftrightarrow Y(z) = X(z).H(z)$$

Remarque : on suppose ici les suites causales, c'est à dire que  $x(n) = h(n) = 0$  pour  $n < 0$ .

Cette propriété peut se montrer aisément (et nous nous priverons pas de ce plaisir...) :

Par définition :

$$Y(z) = \sum_{n=0}^{\infty} \left[ \sum_{k=0}^n x(k).h(n-k) \right] \cdot z^{-n}$$

D'autre part :

$$\begin{aligned}
X(z).H(z) &= \left( \sum_{k=0}^{\infty} x(k).z^{-k} \right) \cdot \left( \sum_{\ell=0}^{\infty} h(\ell).z^{-\ell} \right) \\
&= \sum_{n=0}^{\infty} \left( \sum_{k+\ell=n} x(k).h(\ell) \right) .z^{-n} \quad \leftarrow \begin{array}{l} \text{on prend tous les termes tels que } k + \ell = n \\ \text{(voir le produit de deux polynômes)} \end{array} \\
&= \sum_{n=0}^{\infty} \left( \sum_{k=0}^n x(k).h(n-k) \right) .z^{-n} \\
&= Y(z)
\end{aligned}$$

## -7- Suite originale d'une fraction

Le problème est le suivant : soit  $X(z) = \frac{a_0 + a_1.z^{-1} + a_2.z^{-2} + \dots + a_Q.z^{-Q}}{1 + b_1.z^{-1} + b_2.z^{-2} + \dots + b_p.z^{-p}}$ . Quelle est la suite originale  $x(n)$  telle que  $X(z) = \mathcal{Z}[x(n)]$  ?

On dispose de deux méthodes :

1. méthode calquée sur la transformée de Laplace : décomposition en éléments simples.
2. méthode liée au caractère numérique de la transformée en Z : division des polynômes.

### 7.1. Décomposition en éléments simples

Pour simplifier, on suppose que le dénominateur ne présente pas de racines multiples.

$$\begin{aligned}
X(z) &= \frac{a_0 + a_1.z^{-1} + a_2.z^{-2} + \dots + a_Q.z^{-Q}}{1 + b_1.z^{-1} + b_2.z^{-2} + \dots + b_p.z^{-p}} \\
&= \frac{a_0 + a_1.z^{-1} + a_2.z^{-2} + \dots + a_Q.z^{-Q}}{(1 - p_1.z^{-1}).(1 - p_2.z^{-1}) \dots (1 - p_p.z^{-1})} \\
&= \frac{C_1}{1 - p_1.z^{-1}} + \frac{C_2}{1 - p_2.z^{-1}} + \dots + \frac{C_p}{1 - p_p.z^{-1}} \\
\Rightarrow \quad & \downarrow \qquad \qquad \downarrow \qquad \qquad \downarrow \\
x(n) &= C_1.p_1^n.u(n) + C_2.p_2^n.u(n) + \dots + C_p.p_p^n.u(n)
\end{aligned}$$

### 7.2. Division des polynômes

$$\begin{aligned}
X(z) &= \frac{a_0 + a_1.z^{-1} + a_2.z^{-2} + \dots + a_Q.z^{-Q}}{1 + b_1.z^{-1} + b_2.z^{-2} + \dots + b_p.z^{-p}} \\
&= c_0 + c_1.z^{-1} + c_2.z^{-2} + \dots \\
&= x(0) + x(1).z^{-1} + x(2).z^{-2} + \dots
\end{aligned}$$

On a donc :

$$x(0) = c_0 ; x(1) = c_1 ; x(2) = c_2 ; \dots$$

Intérêt : cette méthode permet d'obtenir rapidement les premiers échantillons. Elle est en particulier intéressante pour l'étude des réponses des filtres RIF.

### 7.3.Exemple

$$\text{Soit } X(z) = \frac{1+z^{-1}}{2 \cdot (1-z^{-1}) \cdot \left(1 - \frac{1}{2}z^{-1}\right)} = \frac{1}{2} \cdot \frac{1+z^{-1}}{1 - \frac{3}{2}z^{-1} + \frac{1}{2}z^{-2}}$$

#### Méthode n°1

$$X(z) = \frac{1}{2} \cdot \frac{4}{1-z^{-1}} + \frac{1}{2} \cdot \frac{-3}{1 - \frac{1}{2}z^{-1}} \Rightarrow x(n) = 2 \cdot u(n) - \frac{3}{2} \cdot \left(\frac{1}{2}\right)^n \cdot u(n)$$

#### Méthode n°2

$\begin{array}{r} \frac{1}{2} + \frac{1}{2}z^{-1} \\ - \frac{1}{2} - \frac{3}{4}z^{-1} + \frac{1}{4}z^{-2} \\ \hline \frac{5}{4}z^{-1} - \frac{1}{4}z^{-2} \\ - \frac{5}{4}z^{-1} - \frac{15}{8}z^{-2} + \frac{5}{8}z^{-3} \\ \hline \frac{13}{8}z^{-2} - \frac{5}{8}z^{-3} \end{array}$	$\begin{array}{r} 1 - \frac{3}{2}z^{-1} + \frac{1}{2}z^{-2} \\ \hline \frac{1}{2} + \frac{5}{4}z^{-1} + \frac{13}{8}z^{-2} + \dots \end{array}$
--	---

## V/ Application de la transformée en Z à l'étude des filtres numériques

### -1- Fonction de transfert

Soit un filtre numérique défini par la récurrence :

$$y(n) + b_1 \cdot y(n-1) + \dots + b_p \cdot y(n-p) = a_0 \cdot x(n) + a_1 \cdot x(n-1) + \dots + a_Q \cdot x(n-Q)$$

Cette relation étant vraie pour toutes valeurs de n, on peut affirmer l'égalité des transformées en Z de chaque membre :

$$\mathcal{Z}[y(n) + b_1 \cdot y(n-1) + \dots + b_p \cdot y(n-p)] = \mathcal{Z}[a_0 \cdot x(n) + a_1 \cdot x(n-1) + \dots + a_Q \cdot x(n-Q)]$$

$$\Rightarrow Y(z) + b_1 \cdot z^{-1} \cdot Y(z) + \dots + b_p \cdot z^{-p} \cdot Y(z) = a_0 \cdot X(z) + a_1 \cdot z^{-1} \cdot X(z) + \dots + a_Q \cdot z^{-Q} \cdot X(z)$$

$$\Rightarrow Y(z) \cdot [1 + b_1 \cdot z^{-1} + \dots + b_p \cdot z^{-p}] = X(z) \cdot [a_0 + a_1 \cdot z^{-1} + \dots + a_Q \cdot z^{-Q}]$$

Soit :

$$Y(z) = H(z) \cdot X(z) \quad \text{où : } H(z) = \frac{a_0 + a_1 \cdot z^{-1} + \dots + a_Q \cdot z^{-Q}}{1 + b_1 \cdot z^{-1} + \dots + b_p \cdot z^{-p}}$$

H(z) est la fonction de transfert en Z du filtre numérique.

$$y(n) + \sum_{k=1}^p b_k \cdot y(n-k) = \sum_{\ell=0}^Q a_\ell \cdot x(n-\ell) \Leftrightarrow H(z) = \frac{\sum_{\ell=0}^Q a_\ell \cdot z^{-\ell}}{1 + \sum_{k=1}^p b_k \cdot z^{-k}}$$

Remarque : pour les filtres RIF,  $b_k = 0 \quad \forall k$ . La fonction de transfert  $H(z)$  est simplement un polynôme en  $z^{-1}$  :  $H(z) = a_0 + a_1.z^{-1} + \dots + a_Q.z^{-Q}$

### **-2- Réponse impulsionnelle**

Dans le cas particulier où l'excitation du filtre est une suite impulsionnelle :  $x(n) = \delta(n)$ , la réponse s'identifie à la réponse impulsionnelle :  $y(n) = h(n)$ . Or la transformée en Z de la suite impulsionnelle est  $\Delta(z) = \mathcal{Z}[\delta(n)] = 1$  ; on a donc :

$$Y(z) = \mathcal{Z}[h(n)] = H(z) \times 1 = H(z).$$

**La fonction de transfert  $H(z)$  est la transformée en Z de la réponse impulsionnelle.**

### **-3- Exemple**

Soit le filtre défini par la récurrence  $y(n) - \frac{1}{2}.y(n-1) = \frac{1}{2}.x(n)$  (voir § II - 8).

Fonction de transfert : 
$$H(z) = \frac{\frac{1}{2}}{1 - \frac{1}{2}.z^{-1}}$$

Réponse impulsionnelle : 
$$h(n) = \mathcal{Z}^{-1}[H(z)] = \frac{1}{2} \cdot \left(\frac{1}{2}\right)^n \cdot u(n) = \left(\frac{1}{2}\right)^{n+1} \cdot u(n)$$

Réponse indicielle : 
$$x(n) = u(n) \Rightarrow X(z) = \frac{1}{1 - z^{-1}} \Rightarrow Y(z) = \frac{\frac{1}{2}}{(1 - z^{-1})\left(1 - \frac{1}{2}.z^{-1}\right)}$$

Sans calcul, on peut dire que :

$$\begin{cases} y(0) = \lim_{z^{-1} \rightarrow 0} Y(z) = \frac{1}{2} \\ \lim_{n \rightarrow \infty} y(n) = \lim_{z^{-1} \rightarrow 1} (1 - z^{-1}) Y(z) = 1 \end{cases}$$

Et, en décomposant en éléments simples :

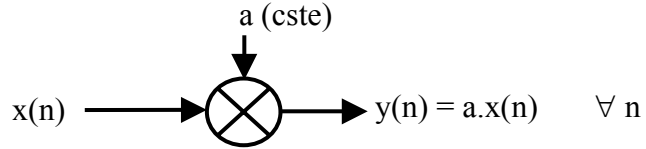
$$Y(z) = \frac{\frac{1}{2}}{(1 - z^{-1})\left(1 - \frac{1}{2}.z^{-1}\right)} = \frac{1}{1 - z^{-1}} - \frac{\frac{1}{2}}{\left(1 - \frac{1}{2}.z^{-1}\right)}$$

$$\Rightarrow y(n) = u(n) - \frac{1}{2} \cdot \left(\frac{1}{2}\right)^n \cdot u(n) = \left[1 - \left(\frac{1}{2}\right)^{n+1}\right] \cdot u(n)$$

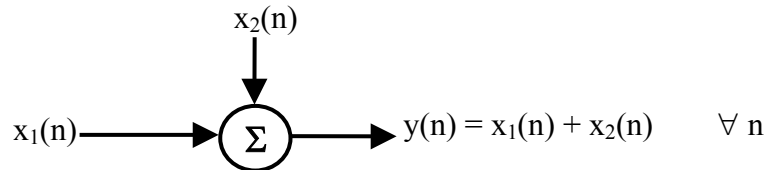
#### -4 Représentation sous forme de schéma bloc

On donne souvent la structure d'un filtre numérique en le représentant sous forme de schéma bloc. Les trois opérateurs de base sont :

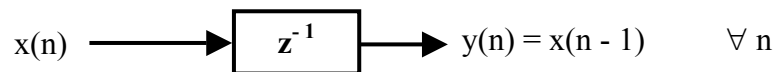
1. multiplication par une constante : symbole



2. somme de deux signaux numériques : symbole

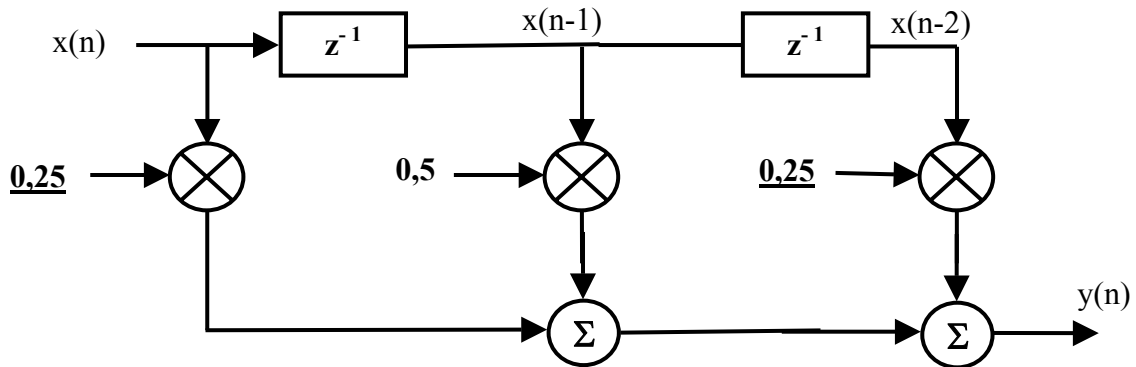


3. retard : symbole

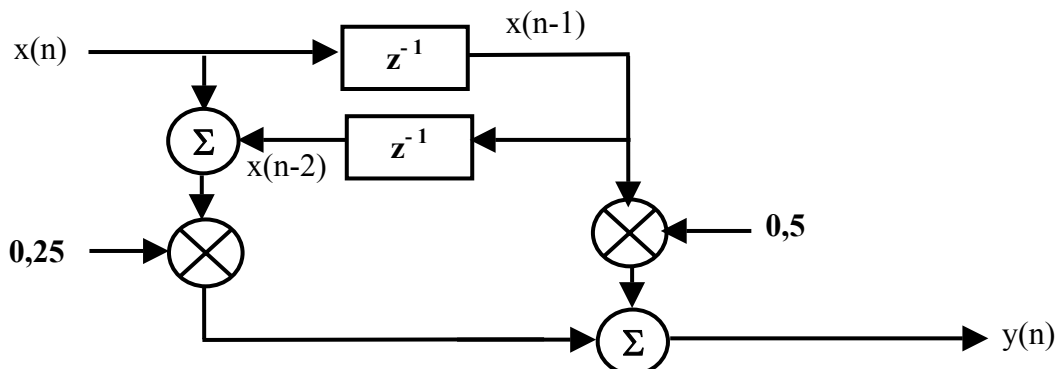


Voici deux exemples de filtres numériques représentés sous forme de schéma bloc :

Filtre RIF :  $y(n) = \frac{1}{4}.x(n) + \frac{1}{2}.x(n-1) + \frac{1}{4}.x(n-2)$

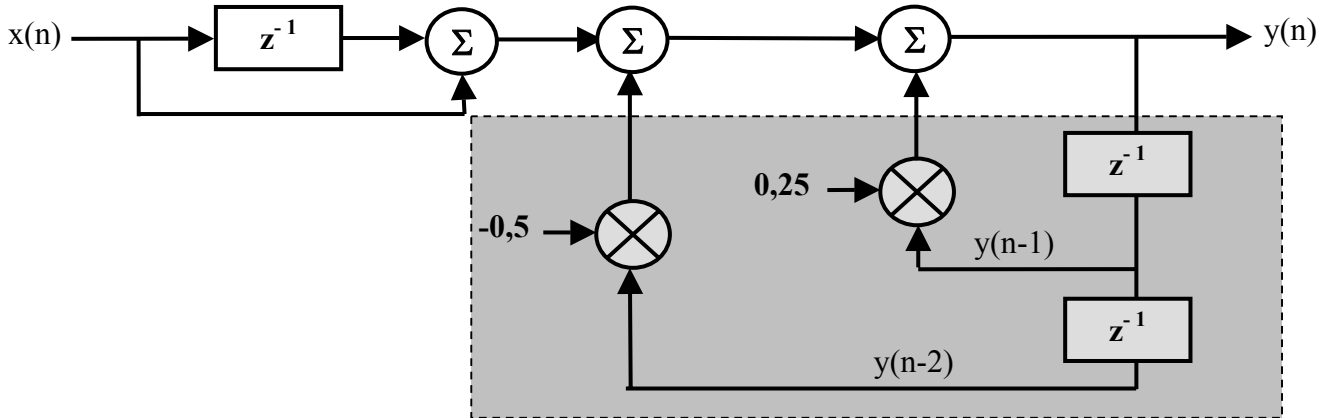


On peut donner une variante à cette réalisation, en remarquant qu'on a deux fois le coefficient 0,25 (on effectue deux multiplications au lieu de trois) :



Filtre RII : 
$$y(n) = x(n) + x(n-1) - \left[ -\frac{1}{4} \cdot y(n-1) + \frac{1}{2} \cdot y(n-2) \right]$$

La partie grisée met en évidence le caractère récursif de ce filtre.



**-5- Réponse harmonique**

On a établi, soit à partir de la récurrence, soit à partir de la réponse impulsionnelle, la fonction de transfert en régime harmonique d'un filtre numérique :

$$H(j.\omega) = \frac{\sum_{\ell=0}^Q a_{\ell} \cdot (e^{j.\omega.T_E})^{-\ell}}{1 + \sum_{k=1}^P b_k \cdot (e^{j.\omega.T_E})^{-k}}$$

En comparant avec la fonction de transfert H(z) :

$$H(z) = \frac{\sum_{\ell=0}^Q a_{\ell} \cdot z^{-\ell}}{1 + \sum_{k=1}^P b_k \cdot z^{-k}}$$

on voit que :

$$H(j.\omega) = H[z = e^{j.\omega.T_E}] = H[z = e^{j.\Omega}] \quad \text{avec } \Omega = \omega.T_E = 2.\pi.\frac{f}{F_E}$$

Remarque : on passe de la transformée en Z à la transformée de Laplace par  $z = e^{p.T_E}$ , et de la fonction de transfert T(p) à la fonction de transfert en régime harmonique par  $p = j.\omega$  :

$$\left. \begin{array}{l} z = e^{p.T_E} \\ p = j.\omega \end{array} \right\} \Rightarrow z = e^{j.\omega.T_E}$$

**-6- Exemple**

Etude en régime harmonique du filtre défini par la récurrence :

$$y(n) - \frac{1}{2} \cdot y(n-1) = \frac{1}{2} \cdot x(n)$$

$$H(z) = \frac{\frac{1}{2}}{1 - \frac{1}{2} \cdot z^{-1}} \Rightarrow H(j.\omega) = \frac{\frac{1}{2}}{1 - \frac{1}{2} \cdot (e^{j.\Omega})^{-1}} \quad (\text{où } \Omega = \omega.T_E)$$

Remarque :  $H(j.\omega)$  est périodique, de période  $\omega_E$ . On peut donc restreindre l'étude à  $\omega \in \left[-\frac{\omega_E}{2}; \frac{\omega_E}{2}\right]$ , ce que nous avons supposé dès le début pour respecter le théorème de **Shannon**.

$$H(j.\omega) = \frac{\frac{1}{2}}{1 - \frac{1}{2} \cdot (e^{j.\Omega})^{-1}} = \frac{1}{2 - \cos \Omega + j \cdot \sin \Omega}$$

Etude de |H| :  $|H|^2 = \frac{1}{(2 - \cos \Omega)^2 + (\sin \Omega)^2} = \frac{1}{5 - 4 \cdot \cos \Omega}$

$\Omega$  variant de 0 à  $\pi$  (soit  $\omega$  variant de 0 à  $\omega_E/2$ )  $\cos \Omega$  décroît de +1 à -1.

$|H|^2$  décroît de 1 à  $\frac{1}{9}$  (donc  $|H|$  décroît de 1 à  $\frac{1}{3}$ )

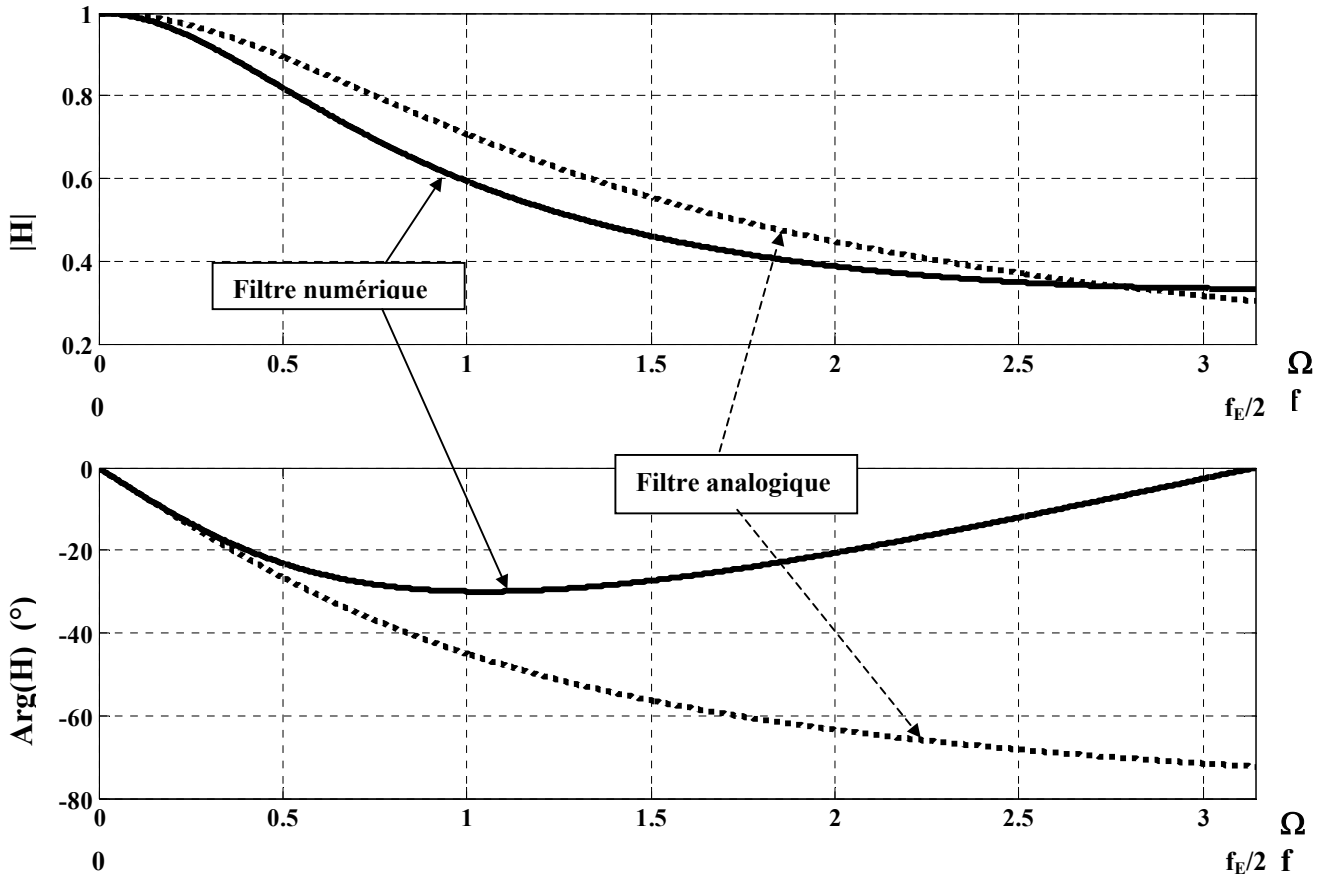
Fréquence de coupure à -3 dB :  $5 - 4 \cdot \cos \Omega_c = 2 \Rightarrow \Omega_c = \arccos \frac{3}{4}$  soit  $\omega_c \approx 0,12 \cdot \omega_E$   
(Le filtre analogique ayant servi de modèle était un filtre du premier ordre tel que  $\tau = T_E$ , soit  $\omega_c = \frac{\omega_E}{2 \cdot \pi} \approx 0,16 \cdot \omega_E$ )

Etude de Arg(H) : Soit  $\varphi = \text{Arg}[H]$  :  $\tan \varphi = -\frac{\sin \Omega}{2 - \cos \Omega}$

$$\frac{d \tan \varphi}{d \Omega} = (1 + \tan^2 \varphi) \cdot \frac{d \varphi}{d \Omega} = -\frac{\cos \Omega \cdot (2 - \cos \Omega) - \sin^2 \Omega}{(2 - \cos \Omega)^2} = -\frac{2 \cdot \cos \Omega - 1}{(2 - \cos \Omega)^2}$$

D'où le tableau de variations :

$\Omega$	0	$\frac{\pi}{3}$	$\pi$
$\frac{d\varphi}{d\Omega}$	-	0	+
$\varphi$	0	$-\frac{\pi}{6}$	0

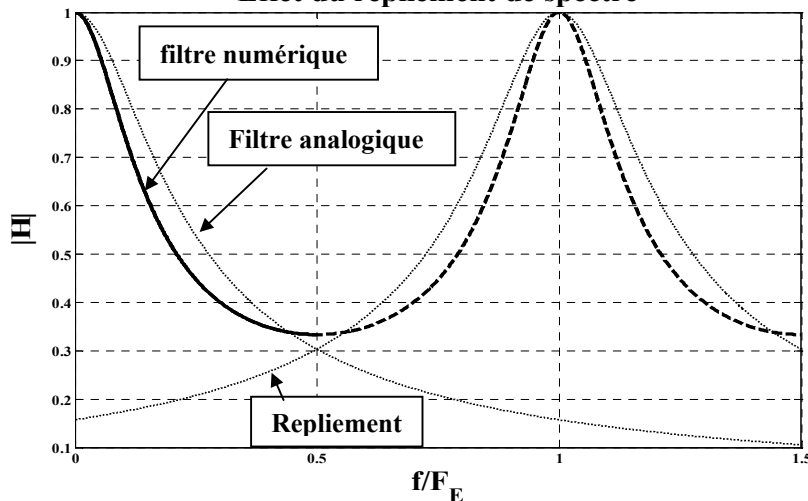


Remarque : La récurrence a été obtenue en simulant sous forme numérique un filtre du premier ordre défini par l'équation  $y + \tau \frac{dy}{dt} = x$  avec  $\tau = T_E$ , et en faisant

l'approximation  $\frac{dy}{dt} \approx \frac{y(n) - y(n-1)}{T_E}$ .

On constate que les deux filtres (numérique et analogique) ont un comportement différent en régime harmonique (en particulier pour l'argument). Dans notre approximation, nous avons totalement ignoré l'échantillonnage et les **effets de repliement de spectre**.

**Effet du repliement de spectre**



note : la somme est une somme de nombres complexes :

$$H(j,\omega) = \sum_{k=-\infty}^{+\infty} \frac{1}{1 + j\tau \cdot (\omega - k \cdot \omega_E)}$$



**Annexe 1 : parallèle filtres analogiques - filtres numériques**

	ANALOGIQUE	NUMERIQUE
<b>Définition</b>	<p><u>Linéarité</u></p> $\left. \begin{array}{l} x_1(t) \xrightarrow{\text{Réponse}} y_1(t) \\ x_2(t) \xrightarrow{\text{Réponse}} y_2(t) \end{array} \right\} \Rightarrow a.x_1(t) + b.x_2(t) \xrightarrow{\text{Réponse}} a.y_1(t) + b.y_2(t)$ <p><u>Invariance</u></p> $x(t) \xrightarrow{\text{Réponse}} y(t) \Rightarrow x(t - \tau) \xrightarrow{\text{Réponse}} y(t - \tau) \quad \forall \tau$	<p><u>Linéarité</u></p> $\left. \begin{array}{l} x_1(n) \xrightarrow{\text{Réponse}} y_1(n) \\ x_2(n) \xrightarrow{\text{Réponse}} y_2(n) \end{array} \right\} \Rightarrow a.x_1(n) + b.x_2(n) \xrightarrow{\text{Réponse}} a.y_1(n) + b.y_2(n)$ <p><u>Invariance</u></p> $x(n) \xrightarrow{\text{Réponse}} y(n) \Rightarrow x(n - k) \xrightarrow{\text{Réponse}} y(n - k) \quad \forall k$
<b>Equation</b>	<p><u>Différentielle</u></p> $y(t) + \sum_{k=1}^n b_k \cdot \frac{d^k y}{dt^k} = \sum_{\ell=0}^m a_\ell \cdot \frac{d^\ell x}{dt^\ell}$	<p><u>Récurrence</u></p> $y(n) + \sum_{k=1}^P b_k \cdot y(n - k) = \sum_{\ell=0}^Q a_\ell \cdot x(n - \ell)$
<b>Convolution</b>	$x(t) = \int_{-\infty}^{+\infty} x(\theta) \cdot \delta(t - \theta) \cdot d\theta = \int_{-\infty}^{+\infty} x(t - \theta) \cdot \delta(\theta) \cdot d\theta$	$x(n) = \sum_{k=-\infty}^{\infty} x(k) \cdot \delta(n - k) = \sum_{k=-\infty}^{\infty} x(n - k) \cdot \delta(k)$
<b>Réponse impulsionnelle</b>	$\delta(t) \xrightarrow{\text{Réponse}} g(t)$ $x(t) \xrightarrow{\text{Réponse}} y(t) = \int_{-\infty}^{+\infty} x(\theta) \cdot g(t - \theta) \cdot d\theta$	$\delta(n) \xrightarrow{\text{Réponse}} h(n)$ $x(n) \xrightarrow{\text{Réponse}} y(n) = \sum_{k=-\infty}^{\infty} x(k) \cdot h(n - k)$
<b>Réponse harmonique</b>	$T(j,\omega) = \frac{\sum_{\ell=0}^m a_\ell \cdot (j,\omega)^\ell}{1 + \sum_{k=1}^n b_k \cdot (j,\omega)^k}$	$H(j,\omega) = \frac{\sum_{\ell=0}^Q a_\ell \cdot (e^{j,\omega \cdot T_E})^{-\ell}}{1 + \sum_{k=1}^P b_k \cdot (e^{j,\omega \cdot T_E})^{-k}}$



**Annexe 2 : parallèle transformée de Laplace - transformée en Z**

LAPLACE

TRANSFORMEE EN Z

**DEFINITION**

$$X(p) = \lim_{T_E \rightarrow 0} T_E \cdot X[z = e^{T_E \cdot p}]$$

$$x(t) \leftrightarrow X(p) = \int_0^{+\infty} x(t) \cdot e^{-p \cdot t} \cdot dt$$

$$x(n) \leftrightarrow X(z) = \sum_{n=0}^{+\infty} x(n) \cdot z^{-n}$$

Echantillonnage

$x_e(t)$

$$X_e(p) = T_E \cdot \sum_{n=0}^{+\infty} x(n \cdot T_E) \cdot [e^{T_E \cdot p}]^{-n}$$

$z = e^{T_E \cdot p}$

**PROPRIETES**

**Linéarité**

$$\left. \begin{matrix} x(t) \leftrightarrow X(p) \\ y(t) \leftrightarrow Y(p) \end{matrix} \right\} \Rightarrow \begin{cases} x(t) + y(t) \leftrightarrow X(p) + Y(p) \\ a \cdot x(t) \leftrightarrow a \cdot X(p) \end{cases}$$

$$\left. \begin{matrix} x(n) \leftrightarrow X(z) \\ y(n) \leftrightarrow Y(z) \end{matrix} \right\} \Rightarrow \begin{cases} x(n) + y(n) \leftrightarrow X(z) + Y(z) \\ a \cdot x(n) \leftrightarrow a \cdot X(z) \end{cases}$$

**Retard**

$x(t - t_0) \leftrightarrow e^{-t_0 \cdot p} \cdot X(p)$

$$\begin{matrix} t_0 = k \cdot T_E \text{ et } z = e^{T_E \cdot p} \\ \Rightarrow e^{-t_0 \cdot p} = z^{-k} \end{matrix}$$

$x(n - k) \leftrightarrow z^{-k} \cdot X(z)$

**Changement d'échelle**

$x(t) \cdot e^{p_0 \cdot t} \leftrightarrow X(p - p_0)$

$$\begin{matrix} z' = e^{(p - p_0) \cdot T_E} = \frac{e^{p \cdot T_E}}{e^{p_0 \cdot T_E}} \\ \text{soit } z' = \frac{z}{z_0} \text{ avec } z_0 = e^{p_0 \cdot T_E} \end{matrix}$$

$z_0^{-n} \cdot x(n) \leftrightarrow X\left[\frac{z}{z_0}\right]$

**Transformée de  $n \cdot x(n)$**

$t \cdot x(t) \leftrightarrow -\frac{dX}{dp}$

$$\begin{matrix} t \cdot x(t) \xrightarrow{\text{Echant.}} T_E \cdot n \cdot x(n) \\ -\frac{dX}{dp} = -\frac{dX}{dz} \cdot \frac{dz}{dp} \\ = -\frac{dX}{dz} \cdot \frac{d(e^{T_E \cdot p})}{dp} \\ = -T_E \cdot z \cdot \frac{dX}{dz} \end{matrix}$$

$n \cdot x(n) \leftrightarrow -z \cdot \frac{dX}{dz} = z^{-1} \cdot \frac{dX}{dz^{-1}}$

**Théorème de la valeur initiale**

$$x(0^+) = \lim_{p \rightarrow \infty} p.X(p)$$

$$p \rightarrow \infty \Rightarrow z = e^{T_E \cdot p} \rightarrow \infty$$

$$x(0) = \lim_{z \rightarrow \infty} X(z) = \lim_{z^{-1} \rightarrow 0} X(z)$$

**Théorème de la valeur finale**

$$\lim_{t \rightarrow \infty} x(t) = \lim_{p \rightarrow 0} p.X(p)$$

$$z = e^{T_E \cdot p} \approx 1 + T_E \cdot p \text{ qd } p \rightarrow 0$$

$$\Rightarrow p \approx \frac{z-1}{T_E}$$

$$\lim_{n \rightarrow \infty} x(n) = \lim_{z \rightarrow 1} (z-1).X(z)$$

$$= \lim_{z^{-1} \rightarrow 1} (1-z^{-1}).X(z)$$

**APPLICATION A L'ETUDE DES FILTRES**

**Equation différentielle**

$$y + \sum_{k=1}^n b_k \cdot \frac{d^k y}{dt^k} = \sum_{\ell=0}^m a_\ell \cdot \frac{d^\ell x}{dt^\ell}$$

**Equation de récurrence**

$$y(n) + \sum_{k=1}^P b_k \cdot y(n-k) = \sum_{\ell=0}^Q a_\ell \cdot x(n-\ell)$$

**Fonction de transfert**

$$\left[ \frac{d}{dt} \right]^k \leftrightarrow p^k \times$$

$$(n-k) \leftrightarrow z^{-k} \times$$

$$T(p) = \frac{\sum_{\ell=0}^m a_\ell \cdot p^\ell}{1 + \sum_{k=1}^n b_k \cdot p^k}$$

$$H(z) = \frac{\sum_{\ell=0}^Q a_\ell \cdot z^{-\ell}}{1 + \sum_{k=1}^P b_k \cdot z^{-k}}$$

**Réponse impulsionnelle**

T(p) est la transformée de Laplace de la réponse impulsionnelle

H(z) est la transformée en Z de la réponse impulsionnelle

$$T(p) = \mathcal{L}[g(t)]$$

$$H(z) = \mathcal{Z}[h(n)]$$

**Réponse harmonique**

$$T(j\omega) = T[p = j\omega]$$

$$\left. \begin{matrix} z = e^{T_E \cdot p} \\ p = j\omega \end{matrix} \right\} \Rightarrow z = e^{j\omega \cdot T_E}$$

$$H(j\omega) = H[z = e^{j\omega \cdot T_E}]$$